

PŁYTA MINDLINA NA TRÓJPARAMETROWYM, INERCYJNYM PODŁOŻU SPRĘŻYSTYM WŁASOWA-LEONTIEWA POD OBCIĄŻENIEM IMPULSEM SIŁY

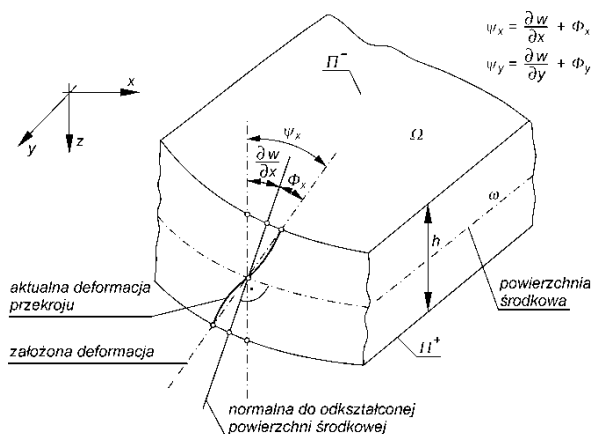
Streszczenie

W artykule omówiono zadanie płyty o średniej grubości, z zastosowaniem teorii Mindlina, w przypadku dynamicznym. Sprężysta płyta o średniej grubości jest prostokątna i spełnia warunki brzegowe swobodnego podparcia na obwodzie. Dodatkowo płyta spoczywa na podłożu odkształcalnym Własowa-Leontiewa. Przyjęty model jednokierunkowego podłoża jest trójparametrowy i uwzględnia, oprócz współczynnika sprężystego osiadania, inercję podłoża oraz ścinanie w gruncie. Obciążenie analizowanego układu stanowi impuls siły Diraca, przyłożony w dowolnym punkcie na górnej powierzchni płyty.

WSTĘP

Pionierskie prace Reissnera, Hecky'ego, Mindlina, Własowa, Ambarcumniana, Musztariego, Panca i innych, dotyczące teorii płyty sprężystej o średniej grubości, opisano w wielu opracowaniach przeglądowych i monografiach, np. [8, 7]. W przypadku obciążeń dynamicznych na pierwszym miejscu należy wymienić prace Mindlina [1-3] z lat pięćdziesiątych. Trzeba podkreślić, że przyjęta tu do rozważań techniczna teoria płyty o średniej grubości jest to teoria Hencky'ego-Mindlina [1-22] (rys 1.), bazująca na prostej hipotezie kinematycznej w odniesieniu do przemieszczeń. W pracy Hencky'ego [10] mamy: $u_x = -z/h \psi(x, y)$, $u_y = -z/h \Pi(x, y)$, oraz $w = w(x, y)$, z kolei w oryginalnych pracach Mindlina [3-22]: $u_x = -z \psi_x(x, y, t)$, $u_y = -z \psi_y(x, y, t)$ oraz $w = w(x, y, t)$. Modyfikując nieznacznie wymienione hipotezy kinematyczne do postaci bardziej odpowiedniej do techniki MES mamy:

$$\begin{aligned} u_x &= -z \varphi_x(x, y, t), \quad u_y = -z \varphi_y(x, y, t), \\ w &= w(x, y, t). \end{aligned} \quad (1)$$



Rys. 1. Interpretacja kątów ψ_x , ϕ_x , oraz $\frac{\partial w}{\partial x}$ w teorii płyty o średniej grubości Hencky'ego-Mindlina

1. RÓWNANIA RUCHU PŁYTY O ŚREDNIEJ GRUBOŚCI

W teorii płyt Mindlina występują trzy niewiadome wielkości kinematyczne: ugięcie w oraz dwa kąty obrotu φ_x i φ_y . Siły wewnętrzne w płycie określone są następującymi wzorami:

$$\begin{aligned} \begin{bmatrix} M_x \\ M_y \end{bmatrix} &= D \begin{bmatrix} \frac{\partial \varphi_x}{\partial x} + \nu \frac{\partial \varphi_y}{\partial y} \\ \frac{\partial \varphi_y}{\partial y} + \nu \frac{\partial \varphi_x}{\partial x} \end{bmatrix}, \\ M_{xy} = M_{yx} &= \frac{D(1-\nu)}{2} \left(\frac{\partial \varphi_y}{\partial x} + \frac{\partial \varphi_x}{\partial y} \right), \\ \begin{bmatrix} Q_x \\ Q_y \end{bmatrix} &= \kappa G h \begin{bmatrix} \varphi_x + \frac{\partial w}{\partial x} \\ \varphi_y + \frac{\partial w}{\partial y} \end{bmatrix}. \end{aligned} \quad (2)$$

Trzy równania ruchu stanu czysto płytowego określone są w tym przypadku w następujący sposób:

$$\begin{aligned} \kappa G h \left(\nabla^2 w + \frac{\partial \varphi_x}{\partial x} + \frac{\partial \varphi_y}{\partial y} \right) - \rho h \frac{\partial^2 w}{\partial t^2} + q &= 0, \\ D \left[\frac{\partial^2 \varphi_x}{\partial x^2} + \frac{1+\nu}{2} \frac{\partial^2 \varphi_y}{\partial x \partial y} + \frac{1-\nu}{2} \frac{\partial^2 \varphi_x}{\partial y^2} \right] + \\ - \kappa G h \left(\varphi_x + \frac{\partial w}{\partial x} \right) - \frac{\rho h^3}{12} \frac{\partial^2 \varphi_x}{\partial t^2} &= 0, \\ D \left[\frac{\partial^2 \varphi_y}{\partial y^2} + \frac{1+\nu}{2} \frac{\partial^2 \varphi_x}{\partial x \partial y} + \frac{1-\nu}{2} \frac{\partial^2 \varphi_y}{\partial x^2} \right] + \\ - \kappa G h \left(\varphi_y + \frac{\partial w}{\partial y} \right) - \frac{\rho h^3}{12} \frac{\partial^2 \varphi_y}{\partial t^2} &= 0. \end{aligned} \quad (3)$$

Równania ruchu (3) są ważne jedynie w przypadku obciążenia pionowego na górnej i dolnej powierzchni ograniczającej płytę. Można je zapisać inaczej, a mianowicie:

$$\nabla^4 w - \left(\frac{\rho}{\kappa G} + \frac{\rho h^3}{12D} \right) \frac{\partial^2}{\partial t^2} (\nabla^2 w) + \frac{\rho h^3}{D} \frac{\partial^2 w}{\partial t^2} = \frac{q}{D} - \frac{1}{\kappa G h} (\nabla^2 q) + \frac{\rho h^2}{12GD\kappa} \frac{\partial^2 q}{\partial t^2}, \quad (4)$$

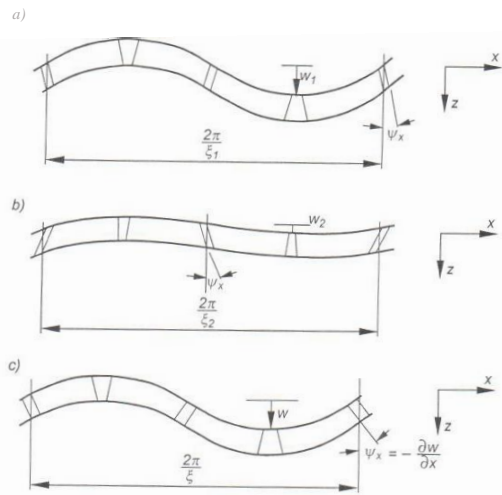
$$\left[\nabla^2 - \frac{2\kappa Gh}{D(1-\nu)} - \frac{\rho h^3}{6D(1-\nu)} \frac{\partial^2}{\partial t^2} \right] \begin{bmatrix} \varphi_x \\ \varphi_y \end{bmatrix} = \frac{1+\nu}{1-\nu} \begin{bmatrix} \frac{\partial}{\partial x} \\ \frac{\partial}{\partial y} \end{bmatrix} \left[\nabla^2 w - \frac{\rho}{\kappa G} \frac{\partial^2 w}{\partial t^2} + \frac{q}{\kappa Gh} \right] + \frac{2\kappa Gh}{D(1-\nu)} \begin{bmatrix} \frac{\partial}{\partial x} \\ \frac{\partial}{\partial y} \end{bmatrix} w. \quad (5)$$

Reakcja podłoża według modelu Własowa-Leontiewa zależy od trzech współczynników k , c , m_0 :

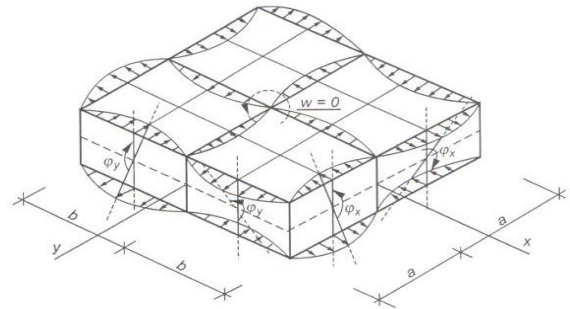
$$\begin{aligned} r(x, y, t) &= k w(x, y, t) - c \nabla^2 w(x, y, t) + m_0 \frac{\partial^2 w(x, y, t)}{\partial t^2}, \\ q(x, y, t) &= p(x, y, t) - r(x, y, t), \\ q(x, y, t) &= p(x, y, t) - k w(x, y, t) + c \nabla^2 w(x, y, t) - m_0 \frac{\partial^2 w(x, y, t)}{\partial t^2}. \end{aligned} \quad (6)$$

Podstawiając (6)₃ do równań (4) i (5) otrzymujemy trzy następujące, dość skomplikowane, równania ruchu

$$\begin{aligned} \nabla^4 w - \left(\frac{\rho}{\kappa G} + \frac{\rho h^3}{12D} \right) \frac{\partial^2}{\partial t^2} (\nabla^2 w) + \frac{\rho^2 h^3}{12GD\kappa} \frac{\partial^4 w}{\partial t^4} + \frac{\rho h}{D} \frac{\partial^2 w}{\partial t^2} &= \left(\frac{1}{D} - \frac{1}{\kappa Gh} \nabla^2 + \frac{\rho^2 h^3}{12GD\kappa} \frac{\partial^2}{\partial t^2} \right) \left(p - k w + \right. \\ &\quad \left. + c \nabla^2 w - m_0 \frac{\partial^2 w}{\partial t^2} \right), \\ \left[\nabla^2 - \frac{2\kappa Gh}{D(1-\nu)} - \frac{\rho h^3}{6D(1-\nu)} \frac{\partial^2}{\partial t^2} \right] \begin{bmatrix} \varphi_x \\ \varphi_y \end{bmatrix} &= \\ = \frac{1+\nu}{1-\nu} \begin{bmatrix} \frac{\partial}{\partial x} \\ \frac{\partial}{\partial y} \end{bmatrix} \left[\nabla^2 w - \frac{\rho}{\kappa G} \frac{\partial^2 w}{\partial t^2} + \frac{q}{\kappa Gh} \right] &+ \\ + \frac{2\kappa Gh}{D(1-\nu)} \begin{bmatrix} \frac{\partial}{\partial x} \\ \frac{\partial}{\partial y} \end{bmatrix} w. & \end{aligned} \quad (7)$$



Rys. 2. Gięte postacie drgań własnych płyty o średniej grubości wyznaczone przez Mindlina w pracy z 1956 roku a), b) oraz postać drgań własnych płyty Kirchhoffa c)



Rys. 3. Giętno-skrętna postać drgań występująca w płytach o średniej grubości, podana po raz pierwszy przez Mindlina i innych w pracy z 1956 roku

2. ZADANIE WŁASNE PŁYTY O ŚREDNIEJ GRUBOŚCI

Przyjmując w równaniach (7) $p(x, y, t) = 0$ otrzymujemy trzy jednorodne równania ruchu opisujące zagadnienie własne. Przykładowo równanie (7)₁ zapisujemy w następujący sposób:

$$\begin{aligned} \left(1 + \frac{c}{\kappa Gh} \right) \nabla^4 w + \\ - \left(\frac{\rho}{\kappa G} + \frac{\rho h^3}{12D} + \frac{m_0}{\kappa Gh} + c \frac{\rho h^2}{12GD\kappa} \right) \frac{\partial^2}{\partial t^2} (\nabla^2 w) + \\ + \left(\frac{\rho^2 h^3}{12GD\kappa} + m_0 \frac{\rho h^2}{12GD\kappa} \right) \frac{\partial^4 w}{\partial t^4} + \\ + \left(\frac{\rho h}{D} + \frac{m_0}{D} + k \frac{\rho h^2}{12GD\kappa} \right) \frac{\partial^2 w}{\partial t^2} - \\ - \left(\frac{c}{D} + \frac{k}{\kappa Gh} \right) \nabla^2 w + \frac{k}{D} w = 0. \end{aligned} \quad (8)$$

Przyjmując ruch harmoniczny drgań własnych ugięcia i oba kąty obrotu płyty opisujemy podwójnymi szeregami trygonometrycznymi spełniającymi warunki brzegowe przegubowego podparcia na obwodzie płyty w formie:

$$\begin{aligned}
 w(x, y, t) &= \sum_{m=1}^{\infty} \sum_{n=1}^{\infty} q_{m,n}(t) \sin \frac{m\pi}{a} x \sin \frac{n\pi}{b} y \sin \omega_{m,n} t, \\
 \varphi_x(x, y, t) &= \sum_{m=1}^{\infty} \sum_{n=1}^{\infty} \phi_{m,n}(t) \sin \frac{m\pi}{a} x \sin \frac{n\pi}{b} y \sin \omega_{m,n} t, \\
 \varphi_y(x, y, t) &= \sum_{m=1}^{\infty} \sum_{n=1}^{\infty} \psi_{m,n}(t) \sin \frac{m\pi}{a} x \sin \frac{n\pi}{b} y \sin \omega_{m,n} t.
 \end{aligned} \quad (9)$$

Pozwala to, między innymi, na wyznaczenie dwóch częstości kołowych $\omega_{1m,n}$ oraz $\omega_{3m,n}$. Postacie drgań płyty średniej grubości, odpowiadające tym częstościom, pokazano na rysunku 2 a) i 2 b), a na rysunku 2 c) postać drgań cienkiej płyty Kirchhoffa. Z kolei na rysunku 3 pokazano postać drgań odpowiadającą częstości $\omega_{2m,n}$, określającą tzw. drgania skrętne wynikające z równań (7)₂, wyznaczone po raz pierwszy przez Minlina w pracach [1, 3]. Łatwo zauważyć, że w przypadku tej postaci drgań ugięcia $w = 0$.

Równanie jednorodne, z którego wyznaczmy częstości drgań własnych zapiszemy wykorzystując program Mathematica, mamy zatem:

$$\begin{aligned}
 &\left(\frac{\rho^2 h^3}{12GD\kappa} + \frac{m_0 \rho h^2}{12GD\kappa} \right) \omega^4 + \left[\frac{\rho}{\kappa G} + \frac{\rho h^3}{12D} + \frac{m_0}{\kappa G h} + \right. \\
 &\quad \left. + \frac{c \rho h^2}{12GD\kappa} - \left(\frac{\rho h}{D} + \frac{m_0}{D} + \frac{k \rho h^2}{12GD\kappa} \right) \right] \omega^2 + \\
 &\quad + \left(1 + \frac{c}{\kappa G h} \right) \gamma^4 - \left(\frac{c}{D} + \frac{k}{\kappa G h} \right) \gamma^2 = 0, \\
 &\alpha^2 = \frac{m^2 \pi^2}{a^2}, \quad \beta^2 = \frac{n^2 \pi^2}{b^2}, \quad \gamma^2 = \alpha^2 + \beta^2.
 \end{aligned} \quad (10)$$

Podstawowe częstości drgań własnych są określone w następujący sposób:

$$\begin{aligned}
 \omega_1 &= \frac{1}{\sqrt{2}} \left\| \frac{1}{h^3 \rho (h\rho + m_0)} \right\| 48h^3 \rho (h\rho + m_0) \cdot \\
 &\cdot \left\{ \gamma^2 D [k - \gamma^2 (c + Gh\kappa)] + Gh\kappa (c\gamma^2 - 2k) \right\} + \\
 &+ \left\{ h \left\{ h\rho [ch + G\kappa (h^2 - 12) - hk] - 12G\kappa m_0 \right\} + \right. \\
 &\quad \left. + 12D(h\rho + m_0) \right\}^2 \Bigg|^{\frac{1}{2}} + \\
 &+ h \left\{ h\rho [12G\kappa - h(c + Gh\kappa - k)] + \right. \\
 &\quad \left. + 12G\kappa m_0 - 12D(h\rho + m_0) \right\} \Bigg|^{\frac{1}{2}},
 \end{aligned} \quad (11)$$

$$\begin{aligned}
 \omega_1 &= \frac{1}{\sqrt{2}} \left\| - \frac{1}{h^3 \rho (h\rho + m_0)} \right\| 48h^3 \rho (h\rho + m_0) \cdot \\
 &\cdot \left\{ \gamma^2 D [k - \gamma^2 (c + Gh\kappa)] + Gh\kappa (c\gamma^2 - 2k) \right\} + \\
 &+ \left\{ h \left\{ h\rho [ch + G\kappa (h^2 - 12) - hk] - 12G\kappa m_0 \right\} + \right. \\
 &\quad \left. + 12D(h\rho + m_0) \right\}^2 \Bigg|^{\frac{1}{2}} + \\
 &- h \left\{ h\rho [12G\kappa - h(c + Gh\kappa - k)] + \right. \\
 &\quad \left. + 12G\kappa m_0 + 12D(h\rho + m_0) \right\} \Bigg|^{\frac{1}{2}}.
 \end{aligned} \quad \text{cd.} \quad (11)$$

Mając wyznaczone obie częstości drgań giętych możemy zacząć się rozwiązaniem równania niejednorodnego (7)₁. W naszym przypadku obciążeniem dynamicznym jest impuls siły Diraca S [11].

3. DRGANIA PŁYTY WYMUSZONE IMPULSEM SIŁY

W pierwszej kolejności zapisujemy obciążenie dynamiczne płyty w następujący sposób:

$$\begin{aligned}
 p &= p(x, y, t) = S \delta(x - x_0) \delta(y - y_0) \delta(t - t_0), \\
 \delta(x - x_0) \delta(y - y_0) \delta(t - t_0) &= \frac{4}{ab} \delta(t - t_0) \cdot
 \end{aligned}$$

$$\begin{aligned}
 &\cdot \sum_{m=1}^{\infty} \sum_{n=1}^{\infty} \sin \alpha_m x \sin \alpha_n y \sin \alpha_m x_0 \sin \alpha_n y_0, \\
 p(x, y, t) &= S \delta(x - x_0) \delta(y - y_0) \delta(t - t_0) = \\
 &= \sum_{m=1}^{\infty} \sum_{n=1}^{\infty} f_{n,m}(t) \sin \alpha_m x \sin \beta_n y,
 \end{aligned} \quad (12)$$

$$f_{n,m}(t) = \frac{4S}{ab} \delta(t - t_0) \sin \alpha_m x_0 \sin \beta_n y_0,$$

$$\begin{aligned}
 \nabla^2 p(x, y, t) &= -\frac{4S}{ab} \sum_n \sum_m (\alpha_m^2 + \beta_n^2) f_{n,m}(t) \cdot \\
 &\cdot \sin \alpha_m x_0 \sin \beta_n y_0 \sin \alpha_m x \sin \beta_n y,
 \end{aligned}$$

$$\begin{aligned}
 \frac{\partial^2 p(x, y, t)}{\partial t^2} &= \frac{4S}{ab} \sum_n \sum_m \ddot{f}_{n,m}(t) \sin \alpha_m x_0 \sin \beta_n y_0 \cdot \\
 &\cdot \sin \alpha_m x \sin \beta_n y.
 \end{aligned}$$

Następnie równanie (7)₁ przekształcamy do następującej postaci (13)

$$\begin{aligned}
 & \left(1 + \frac{c}{\kappa Gh}\right) \nabla^4 w + \\
 & - \left(\frac{\rho}{\kappa G} + \frac{\rho h^3}{12D} + \frac{m_0}{\kappa Gh} + c \frac{\rho h^2}{12GD\kappa}\right) \frac{\partial^2}{\partial t^2} (\nabla^2 w) + \\
 & \left(\frac{\rho^2 h^3}{12GD\kappa} + m_0 \frac{\rho h^2}{12GD\kappa}\right) \frac{\partial^4 w}{\partial t^4} + \\
 & + \left(\frac{\rho h}{D} + \frac{m_0}{D} + k \frac{\rho h^2}{12GD\kappa}\right) \frac{\partial^2 w}{\partial t^2} - \left(\frac{c}{D} + \frac{k}{\kappa Gh}\right) \nabla^2 w + \\
 & + \frac{k}{D} w = p - kw + c \nabla^2 w - m_0 \frac{\partial^2 w}{\partial t^2}.
 \end{aligned} \tag{13}$$

Rozwiązanie drgań wymuszonych na ugięcie płyty w przyjmujemy w postaci podwójnego szeregu, spełniającego warunki brzegowe na obwodzie płyty

$$w(x, y, t) = \sum_{m=1}^{\infty} \sum_{n=1}^{\infty} q_{m,n}(t) \sin \frac{m\pi}{a} x \sin \frac{n\pi}{b} y \sin \omega_{m,n} t. \tag{14}$$

Po uwzględnieniu (14) otrzymujemy następujące niejednorodne równanie różniczkowe ruchu czwartego rzędu na wyznaczenie nieznannej funkcji $q_{m,n}(t)$

$$\begin{aligned}
 q^{IV} + \frac{B}{A} \ddot{q} + \frac{C}{A} q &= \frac{1}{A} \left[\frac{4S}{ab} \delta(t-t_0) \sin \alpha_m x_0 \sin \beta_n y_0 \right] \cdot \\
 & \cdot \left[1 - (\alpha_m^2 + \beta_n^2) \right] + \\
 & + \frac{1}{A} \left[\frac{4S}{ab} \frac{\partial^2}{\partial t^2} \delta(t-t_0) \sin \alpha_m x_0 \sin \beta_n y_0 \right].
 \end{aligned} \tag{15}$$

W równaniu (15) wprowadzono następujące oznaczenia:

$$\begin{aligned}
 A &= \frac{\rho^2 h^3 + m_0 \rho h^2}{12GD\kappa}, \\
 B &= \left[\frac{\rho}{\kappa G} + \frac{\rho h^3}{12D} + \frac{m_0}{\kappa Gh} + \frac{c \rho h^2}{12GD\kappa} + \right. \\
 & \left. - \left(\frac{\rho h}{D} + \frac{m_0}{D} + \frac{k \rho h^2}{12GD\kappa} \right) \right], \\
 C &= \left(1 + \frac{c}{\kappa Gh} \right) \gamma^4 - \left(\frac{c}{D} + \frac{k}{\kappa Gh} \right) \gamma^2.
 \end{aligned} \tag{16}$$

Równanie (15) rozwiązujemy analitycznie stosując pakiet Wolframa Mathematica.

WNIOSKI I UOGÓLNIENIA

W pracy podano rozwiązanie zadania własnego sprężystej płyty Mindlina podpartej przegubowo na obwodzie i spoczywającej na inercyjnym trójparametrowym, jednokierunkowym podłożu Własowa-Leontiewa. Przeanalizowano również drgania wymuszone impulsem siły Diraca. W drugim z tych przypadków równanie ruchu, po rozdzieleniu zmiennych, rozwiązano numerycznie wykorzystując do tego celu kod Wolframa Mathematica. W pracy podano również obszerny spis literatury specjalistycznej dotyczącej analizowanego zadania.

BIBLIOGRAFIA

- Mindlin R.D., *Influence of rotatory inertia and shear on flexural motions of isotropic, elastic plates*. J. Appl. Mech. (1951) 18, 1, pp.31-38.
- Mindlin R.D., *An Introduction to the Mathematical Theory of Vibrations of Elastic Plates*. World Scientific 2006.
- Mindlin R.D., Schacknow A, Deresiewicz H., *Flexural vibrations of rectangular plates*. (1956), J. Appl. Mech. 23 3, pp.430-436.
- Szcześniak W., *Wybrane zagadnienia z dynamiki płyt*. OW PW, Warszawa 2000.
- Ataman M., Szcześniak W., *Drgania płyty sprężystej Kirchhoffa spoczywającej na inercyjnym podłożu Własowa wymuszone impulsem siły*. Autobusy. Technika, Eksploatacja, Systemy Transportowe, Instytut Naukowo-Wydawniczy "Spatium", 2016, vol. 17, nr 12, 541-544.
- Jemielita G., *Meandry teorii płyt*. Prace Naukowe Politechniki Warszawskiej. Budownictwo z.117, Warszawa 1991.
- Szcześniak W.: *Drgania płyty pod wpływem obciążenia impulsowego*. Theoretical Foundations of Civil Engineering nr 5, 1997, pp. 386-392.
- Новицкий В.В., *Дельта-функция и ее применение в строительной механике*. Расчет пространственных конструкций, выпуск VIII, 1962, Москва, стр. 207-244.
- Nowacki W., *Dynamika budowli*. Arkady 1976.
- Sarkisjan W.S., *K reszeniju zadacz o popierecznom uprugom udare szarom po anizotropnoj (nieortotropnoj) plastinkie i cilindriczeskoj obołoczkie*. Niekotoryje zadaczy teorii uprugosti anizotropnogo tela. IEU, Erewań, 1970, str. 381-396.
- Dirac P.A., *The physical interpretation of the quantum dynamic*. Proceed. of the Royal Society of London. Series A, Vol. CXIII, No. 765, 1927, pp. 621-641.
- Szcześniak W., Ataman M., *Drgania płyty o średniej grubości spoczywającej na podłożu odkształcalnym pod obciążeniem impulsowym*. Przegląd Komunikacyjny 9/2017 str.26-29.
- Ambarcumian S.A., *Teorja anizotropnych płyt*. Nauka, Moskwa 1987.
- Ataman M., Szcześniak W., *Analiza ugięć płyty sprężystej Kirchhoffa spoczywającej na inercyjnym podłożu Własowa pod impulsem siły*. Autobusy. Technika, Eksploatacja, Systemy Transportowe, Instytut Naukowo-Wydawniczy "Spatium", 2016, vol. 17, nr 12, 537-540.
- Ataman M., Szcześniak W., *Drgania płyty sprężystej Kirchhoffa spoczywającej na inercyjnym podłożu Własowa wymuszone impulsem siły*. Autobusy. Technika, Eksploatacja, Systemy Transportowe, Instytut Naukowo-Wydawniczy "Spatium", 2016, vol. 17, nr 12, 541-544.
- Wang Y.H., Tham L.G. and Cheung Y.K., *Beams and plates on elastic foundations: a review*. Structural Analysis and CAD. Prog. Struct. Engeng. Mater., 2005, 7, 174-183.
- Szcześniak W., *Analiza dynamiczna płyty o średniej grubości*. Prace Naukowe PW, Budownictwo 1988, z.101, 1-236.
- Szcześniak W., *Drgania płyty o średniej grubości pod obciążeniem ruchomym*. Rozprawy Inżynierskie IPPT PAN, 1985, 3, 1-2, 37-53.
- Szcześniak W., *Wpływ dwuparametrowego podłoża sprężystego na drgania własne płyty o średniej grubości*. Rozprawy Inżynierskie IPPT PAN, 1989, 37, 1, 87-115.
- Szcześniak W., *Drgania płyt*. Dynamiczne obliczenia nawierzchni drogowej. IBDiM, Warszawa 2000.
- Kozyra Z., *Drgania belek i płyt wywołane uderzeniami*. OW PW, Warszawa 2010.
- Herrmann G. (Ed.), *Mindlin R.D. and Applied Mechanics*. Pergamon Press 1974.

MINDLIN PLATE ON THE THREE-PARAMETER VLASOV-LEONTIEV INERTIAL FOUNDATION UNDER IMPULSE FORCE

Abstract

The paper deals with vibrations of the elastic Mindlin thick plate resting on the inertial Vlasov-Leontiev foundation. Inertial model of foundation is de-

finied by three parameters: k , c , and m_0 . The plate is subjected to the impulse of force. Analytical solution of the problem is presented in the paper. Natural and forced vibrations of the plate are analysed.

Autorzy:

dr inż. Magdalena Ataman – Politechnika Warszawska, Wydział Inżynierii Lądowej

prof. dr hab. inż. Wacław Szcześniak – Politechnika Lubelska, Wydział Budownictwa i Architektury